

01; 04

**ОДНОМЕРНАЯ АНАЛИТИЧЕСКАЯ МОДЕЛЬ ПЕРЕХОДА  
ОТ ТАУНСЕНДОВСКОГО РАЗРЯДА  
К ТЛЕЮЩЕМУ ПРИ ВЫСОКОМ ДАВЛЕНИИ**

*В. И. Колобов, Л. Д. Цендин*

Построена одномерная аналитическая модель перехода от таунсендовского разряда к тлеющему при высоком давлении. Задача сводится к анализу системы уравнений переноса частиц и уравнения Пуассона. Оценено влияние электронной диффузии и нелокальности ионизации на продольную структуру разряда. Когда диффузионный поток электронов мал по сравнению с дрейфовым, т. е. характерные масштабы велики по сравнению с длиной релаксации медленных электронов по энергии, то обратных полей в катодной области не возникает. В зависимости от направления скорости амбиполярного дрейфа протяженная область неоднородной квазинейтральной плазмы может быть расположена у разных элекстродов.

Поле объемных зарядов приводит к разделению разряда на квазинейтральную плазму и приэлектродные слои. При достаточной длине промежутка формируется также положительный столб — область пространственно однородной плазмы. Представляет интерес проследить, как формируется такой резко неоднородный профиль и какие процессы доминируют в разных областях. Наиболее прост случай разряда высокого давления при небольших токах, когда характерные пространственные масштабы велики, что дает возможность пренебречь диффузионными потоками по сравнению с дрейфовыми и считать понижацию связанный с локальным значением поля.

Задача сводится к анализу системы уравнений переноса частиц и уравнения Пуассона. В одномерной постановке такая задача решалась численно в работе [1], в двумерной постановке — в работах [2, 3]. Попытка получить аналитическое решение одномерной задачи при степенной зависимости ионизации от поля была предпринята в [4]. Однако в работах [1–4] не учитывалась зависимость подвижностей  $b_{\pm}$  от поля, а в работах [1, 4] также и потери заряженных частиц. Поэтому в [1, 4] не был получен положительный столб  $E = E_c$ , где ионизация уравновешена потерями. Во всех этих работах получен монотонный спад поля от катода. Это не согласуется с наблюдающимся профилем поля с минимумом, соответствующим фарадееву темному пространству. Анализ системы с учетом зависимости  $b_{\pm}(E)$  и рекомбинации был выполнен в [5]. Для того чтобы достичь согласия с экспериментом, авторам пришлось положить условие  $E \approx 0$  на границе между катодным слоем и плазмой. В [6] было указано, что причиной образования области слабого поля является наличие нелокальной ионизации. Такая область была получена в кинетических численных расчетах [7]. Данная работа посвящена аналитическому исследованию одномерной задачи с учетом указанных факторов. Показано, что без учета зависимостей  $b_{\pm}(E)$  неоднородная плазма, т. е. область, в которой профиль поля определяется не уравнением Пуассона, а условием квазинейтральности  $n_- = n_+$ , строго говоря, вообще не образуется. Учет же зависимостей  $b_{\pm}(E)$  (при не очень больших полях наиболее существенна зависимость  $b_{\pm}(E)$ ) и потерь заряженных частиц приводит к тому, что с ростом тока  $j$  или длины разрядного промежутка  $L$  формируется квазинейтральная плазменная область. При определенных параметрах разряда при-

электродные слои могут непосредственно переходить в однородный положительный столб плазмы, в котором ионизация в каждом месте уравновешена рекомбинацией. Возможна также ситуация, когда сначала с катодной или анодной стороны (в зависимости от вида  $b_-(E)$ ) формируется протяженная неоднородная плазменная область и лишь при достаточно больших  $j$ ,  $L$  возникает положительный столб. Напряженность поля при этом монотонно спадает от электродов до  $E_c$ , так что эта неоднородная область (в отличие от обычно наблюдаемого фарадеева темного пространства) должна быть светлее, чем столб. Модельный учет нелокальности ионизации позволяет получить профили, соответствующие отрицательному свечению и фарадееву темному пространству.

Исходная система содержит уравнение переноса электронов, условие сохранения полного тока и уравнение Пуассона

$$\frac{dI_-}{dx} = -\alpha(E) I_- + \beta' I_-, \quad (1)$$

$$I_0 = I_+ + I_-, \quad I_\pm = b_\pm n_\pm E, \quad b_\pm = b_\pm(E), \quad (2)$$

$$\frac{dE}{dx} = 4\pi e(n_+ - n_-). \quad (3)$$

Границные условия возьмем в стандартном виде

$$I_+(0) = 0, \quad I_-(L) = \gamma I_+(L), \quad \gamma \ll 1. \quad (4)$$

Примем для  $\alpha(E)$  обычную аппроксимацию

$$\alpha = Ap \exp(-Bp/E). \quad (5)$$

Как правило вдали от катода  $E \ll Bp$ , так что зависимость  $\alpha(E)$  является весьма сильной. Рекомбинация же сравнительно слабо зависит от параметров, причем существенна она лишь в положительном столбе и в непосредственно к нему примыкающей области плазмы. Поэтому запишем ее в модельном виде

$$\beta' I_- = n/\tau = \begin{cases} \beta n^2 & \text{при } n > n_{kp}, \\ Dn/\Lambda^2 & \text{при } n < n_{kp}, \end{cases} \quad \beta n_{kp} = D/\Lambda^2, \quad (6)$$

где  $D$  — коэффициент амбиполярной диффузии,  $\Lambda$  — характерный поперечный масштаб,  $\beta$  — коэффициент объемной рекомбинации,  $n = n_+ = n_-$ . Тогда, интегрируя (1) с использованием граничного условия (4) на аноде, получим

$$I_-(x) = I_0 \exp \left( - \int_0^x (\alpha - \beta') dx' \right) \quad (7)$$

$$I_+(x) = I_0 \left( 1 - \exp \left( - \int_0^x (\alpha - \beta') dx' \right) \right). \quad (8)$$

Используя (2) и граничное условие (4) на катоде, получим

$$\exp \int_0^L (\alpha' - \beta') dx' = 1 + 1/\gamma. \quad (9)$$

Условие (9) позволяет определить минимальную длину, пробиваемую при заданном давлении бесконечно большим полем [8],

$$ApL > \ln(1 + 1/\gamma). \quad (10)$$

Граница соответствует прямой  $I$  на рис. 1.

В разрядном промежутке существуют две характерные точки (рис. 2). В точке  $x_1$  электронный ток равен ионному, в точке  $x_c$  (из-за различия подвижностей  $x_c < x_1$ )  $n_+ = n_-$  и  $E'(x_c) = 0$ . Значение  $E_c = E(x_c)$  определяется решением полной задачи (см. (24), (27), (30)).

Подставив потоки  $I_+$ ,  $I_-$  из (7), (8) в уравнение Пуассона (3), получим [9]

$$\frac{b_+}{8\pi j} \frac{dE^2}{dx} = 1 - \left(1 + \frac{b_+}{b_-}\right) \exp\left(-\int_0^x (\alpha - \beta') dx'\right). \quad (11)$$

Используя (9), (11), получим граничные условия для поля на электродах при  $b_+/b_- \ll 1$

$$\frac{b_+}{8\pi j} \frac{dE^2}{dx} \Big|_0 = -\frac{b_+}{b_-}, \quad (12)$$

$$\frac{b_+}{8\pi j} \frac{dE^2}{dx} \Big|_L = 1 - \gamma. \quad (13)$$

Зависимость  $b_+(E)$  становится существенна при гораздо больших полях, чем  $b_-(E)$ . Поэтому учет ее необходим лишь вблизи катода, где поле сильное,

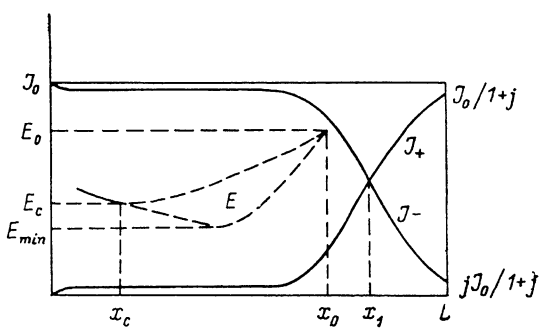
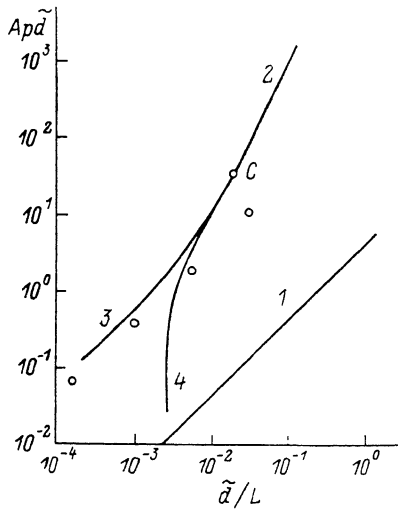


Рис. 1. Классификация типов разряда для значений параметров [1].

$\gamma=0.02$ ,  $\varepsilon=10^{-6}$ ,  $L=1$  см,  $p=10$  Тор,  $b_+/b_-=4.6 \cdot 10^{-8}$ ,  $|\Psi_0| \sim 1$ ,  $\alpha=Ap \exp(-D\sqrt{p/E})$ ,  $A=31.5$  (см·Тор) $^{-1}$ ,  $D=27\sqrt{B/\text{см} \cdot \text{Тор}}$ . Точки — расчеты [1] при плотностях тока  $j=5.62, 1.78, 0.56, 0.178 \cdot 10^{-4}$  А/см $^2$ ;  $ApL=315$ .

Рис. 2. Характерные точки в разрядном промежутке.

а электронов практически нет. Считая  $b_+=\text{const}$ , логарифмируя и дифференцируя (11), подставив (6), получим для безразмерного квадрата поля  $\mathcal{E}=(E/Bp)^2$

$$\frac{\mathcal{E}''}{1-\mathcal{E}'} = Apd \left\{ \exp\left(-1/\sqrt{\mathcal{E}}\right) - \varepsilon - \frac{b_+}{b_-^{(0)}} \frac{1}{Apd} \frac{d}{d\tilde{x}} \left( \frac{b_-^{(0)}}{b_-} \right) \right\}, \quad (14)$$

где безразмерная координата  $\tilde{x}=x/d$  определяется в единицах пуассоновой длины  $d=b_+(Bp)^2/(8\pi j)$ ;  $\varepsilon=\beta'/Ap \ll 1$ ;  $b_-^{(0)}=b_-(E_c)$ .

Границочные условия (12), (13) имеют вид

$$\mathcal{E}'(0) = -b_+/b_-, \quad \mathcal{E}'(L) = 1 - \gamma. \quad (15)$$

Рассмотрим решение (14) вблизи  $\mathcal{E}=\mathcal{E}_c=(E_c/Bp)^2$ , где  $\mathcal{E}' \ll 1$  ( $\mathcal{E}' \sim 1$  вблизи катода, при  $x \geq x_1$ ) (рис. 2). Вводя  $z=\mathcal{E}/\mathcal{E}_c-1$  и  $y=x(Ap \exp(-2a)/d)^{1/2}$ ;  $d=\mathcal{E}_c d$ ;  $a=(2\sqrt{\mathcal{E}_c})^{-1} \gg 1$  и линеаризуя показатель экспоненты в (14) вблизи  $\mathcal{E} \approx \mathcal{E}_c$ , получим

$$\frac{d^2 z}{dy^2} = e^{az} - \varepsilon e^{2a} - \Theta \Psi(z) z', \quad (16)$$

рде

$$\Theta = (A p \tilde{d} \exp(-2a))^{-1} : b_+/b_-^{(0)}, \quad \Psi(z) = \frac{d}{dz} \left( \frac{b_-^{(0)}}{b_-} \right),$$

$$\frac{dz}{dy} \Big|_0 = -\Theta. \quad (17)$$

При малых  $j, L$ , когда разряд близок к таунсендовскому ( $E \approx \text{const}$ ), такая аппроксимация ионизации применима всюду. При больших  $j, L$  она неприменима в малой области сильного поля у катода. Члены в правой части (16) соответствуют ионизации, рекомбинации и зависимости  $b_- (E)$ . Уравнение (16) описывает координату  $z$  частицы, движущейся с трением в потенциале

$$U'(z) = \frac{1}{a} (e^{az} - 1) - \epsilon e^{2a} z. \quad (18)$$

При условии

$$(\Psi_0 \Theta)^2 < 2a, \quad (19)$$

где  $\Psi_0 = \Psi(z=0)$ , трение мало во всем промежутке и условие сохранения полной энергии дает

$$z' = \pm \sqrt{2U(z)}. \quad (20)$$

Случай  $\epsilon \exp(2a) \ll 1$  [соответствует] коротким промежуткам и слабым токам, когда поле всюду велико, рекомбинация несущественна и однородный положительный столб отсутствует. Решение (20) с граничным условием (17) дает распределение поля

$$e^{az} - 1 = \operatorname{tg}^2 \left( \sqrt{\frac{a}{2}} (y - y_c) \right), \quad (21)$$

симметричное относительно точки  $y_c = \sqrt{2/a} \operatorname{arctg} \sqrt{a/2} \Theta$ . Профиль (21) тянется, вообще говоря, вплоть до анода.

Отношение члена с трением к  $dU(z)/dz$  в (16) становится равным единице при  $z=z_0$ , определяемым уравнением

$$\xi^2 - \frac{2(\Psi_0 \Theta)^2}{a} (\xi - 1) = 0, \quad (22)$$

где  $\xi = \exp(az_0)$ .

В случае, обратном (19), уравнение (22) имеет два положительных корня. Между ними трение превышает  $dU(z)/dz$  и решение (21) неприменимо. При  $(\Psi_0 \Theta)^2 \gg 2a$  границы этой области соответствуют  $z_1 = (1/a) \ln(2(\Psi_0 \Theta)^2/a) \gg \gg z_2 = 1/2(\Psi_0 \Theta)^2$ . Обычно  $b_-(E)$  падает с ростом поля. При этом  $\Psi_0 > 0$  и от  $z_1$  до  $z_2$  по катодную сторону от  $y_c$  расположена область квазинейтральной плазмы. Распределение поля в ней при  $\Theta < \sqrt{a} \exp(2/a)$ , когда  $z_1 \ll 1$  и  $\Psi(z) \approx \Psi_0$ , определяется уравнением

$$e^{az} - \epsilon e^{2a} = \Theta \Psi_0 z'. \quad (23)$$

В прикатодном слое поле монотонно растет;  $z > z_1$ . Точка  $z=0$  находится в прианодном слое, так что профиль поля здесь немонотонен. Характерная длина плазменной области  $\Psi_0 \Theta / a$  значительно превышает длину прианодного слоя  $(\Theta \Psi_0)^{-1}$  (если  $\ln 1/\gamma$  не очень велик, то толщина прикатодного слоя того же порядка). В отличие от обычного фарадеева пространства напряженность поля в плазме монотонно спадает от катода.

При  $\Psi_0 < 0$  минимум поля достигается в катодном слое, а неоднородная плазменная область расположена по анодную сторону от  $y_c$ . Такая ситуация может реализоваться, например, в  $\text{CO}_2$ , в котором в интервале  $E/p = 2 - 7 \text{ В/см}$ . Тор электронная подвижность растет с ростом поля, а также в разряде с прокачкой газа от анода.

В достаточно длинном промежутке (левее кривых 2, 3 на рис. 1) существует однородный положительный столб, в котором ионизация уравновешена потоками и

$$\mathcal{E} = \mathcal{E}_c = (\ln \varepsilon)^{-2}. \quad (24)$$

При  $a\varepsilon \ll 1$  решение (16) с потенциалом (18) есть  $z \sim \exp(\lambda y)$ , где  $\lambda$  удовлетворяет уравнению

$$\lambda^2 + \Theta |\Psi_0| \lambda - a = 0.$$

Если  $\Theta |\Psi_0| \gg \sqrt{a}$ , то его корни соответствуют неоднородной плазменной области с масштабом  $\lambda_1 = \Theta |\Psi_0|/a$  и анодному слою с масштабом  $\lambda_2 = -(\Theta |\Psi_0|)^{-1}$ . При  $\Theta |\Psi_0| \ll \sqrt{a}$  плазменная область отсутствует и столб непосредственно переходит в приэлектродные слои с масштабом  $\lambda_{1,2} = \pm 1/\sqrt{a}$ . Равенство  $\Theta |\Psi_0| = \sqrt{a}$  соответствует точке  $C$  на рис. 1

$$Ap\tilde{d} = \frac{1}{\varepsilon |\ln \varepsilon|} \left( \frac{b_+}{b_-} \Psi_0 \right)^2, \quad \frac{\tilde{d}}{L} = \frac{b_+}{b_-} |\Psi_0|.$$

С уменьшением  $L$  уменьшается длина положительного столба. Он исчезает, когда  $L$  равно длине неоднородной плазменной области (при  $\Theta |\Psi_0| \gg \sqrt{a}$ ) (рис. 1, кривая 3) или сумме длин приэлектродных слоев (при  $\Theta |\Psi_0| \ll \sqrt{a}$ ) (кривая 2). При  $\Theta |\Psi_0| \gg \sqrt{a}$  это условие дает

$$ApL = \frac{b_+}{b_-} \frac{|\Psi_0|}{\varepsilon |\ln \varepsilon|}. \quad (25)$$

Когда  $L$  становится равным толщине приэлектродных слоев, исчезает неоднородная плазменная область (рис. 1, кривая 4). Чтобы найти кривую 4, учтем, что справа от нее плазменная область отсутствует. В пренебрежении трением уравнение (14) сводится к двум последовательным квадратурам. Обозначив  $1 - \mathcal{E}' = Y$ , получим из (14) с учетом  $Y(\mathcal{E}_c) = 1$

$$Y - 1 - \ln Y = Apd \int_{\mathcal{E}_c}^{\mathcal{E}} d\mathcal{E}' \exp(-1/\sqrt{\mathcal{E}'}). \quad (26)$$

Считая, что функция  $\mathcal{E}(\ln Y)$  определена согласно (26), и интегрируя (14) с граничными условиями (15), получим неявную зависимость  $\mathcal{E}_c(L)$

$$\int_0^{|\ln \gamma|} d\zeta \exp(-1/\sqrt{\mathcal{E}(\zeta)}) Ap(L - x_0), \quad (27)$$

где  $x_c$  удовлетворяет уравнению

$$Apx_c = \int_0^{b_+/b_-} d\zeta \exp(-1/\sqrt{\mathcal{E}(\zeta)}). \quad (28)$$

Интегралы (27), (28) определяются значениями подынтегральной функции при  $\mathcal{E}(\zeta = 0) = \mathcal{E}_c$ . Выразив при  $\mathcal{E} \approx \mathcal{E}_c$  функцию  $\mathcal{E}(\zeta)$  из (26) и подставив в (27), получим, что при

$$\Theta^2 \gg \left( \frac{b_+}{b_-} \right)^2 \frac{1}{a^3} \quad (29)$$

интеграл (27) не зависит от верхнего предела и

$$\frac{L}{d} = \frac{\pi}{\sqrt{2a}} \frac{b_-}{b_+} \Theta. \quad (30)$$

Так как величины  $a$ ,  $\Theta$  зависят от  $\mathcal{E}_c$ , соотношение (30) определяет  $\mathcal{E}_c(L)$ . Заметив, что при условии (19) неравенство (29) выполнено, получим, используя (29), (30), форму кривой 4

$$\frac{d}{L} = \frac{|\Psi_0|}{2\pi} \frac{b_+}{b_-}. \quad (31)$$

Кривая 2 соответствует равенству  $L = 1/\sqrt{a}$ , причем  $\mathcal{E}_c$  дается формулой (24)

$$A p d = \frac{1}{\varepsilon |\ln \varepsilon|} \left( \frac{d}{L} \right)^2. \quad (32)$$

Полученные выражения дают возможность построить профили параметров плазмы в разных областях разряда. Левее кривых 2, 3 на рис. 1 в разрядном промежутке можно выделить приэлектродные слои и область квазинейтральной плазмы. Если, как это обычно бывает,  $a \gg 1$ , то вольт-амперные характеристики слоев являются падающими. Причина состоит в том, что в слоях должна происходить интенсивная ионизация, обеспечивающая генерацию потоков частиц. У анода должен возникнуть ионный поток  $I_+$ , обеспечивающий создание плазмы; у катода при  $\gamma \ll 1$  ток должен трансформироваться из электронного в ионный. С ростом тока напряженность поля меняется слабо (так как при  $a \gg 1$  ионизация экспоненциально зависит от поля), а толщина слоя уменьшается.

Если  $\Psi_0 < 0$ , то ионизация и перепад потенциала в прианодном слое малы по сравнению с соответствующими значениями в области неоднородной плазмы.

Так, в анодном слое на расстоянии  $y < y_1 = (\Theta |\Psi_0|)^{-1}$  трение несущественно и распределение поля из (20) есть

$$z(y) = \frac{2}{a} \ln \left( \frac{\sqrt{2/a}}{y + 2/\Theta a} \right). \quad (33)$$

При  $y > y_1$  справедливо плазменное уравнение (23), решение которого имеет вид

$$z(y) = -\frac{1}{a} \ln \left[ 1 - \exp \left( -\frac{a}{2(\Psi_0 \Theta)^2} - \frac{a}{|\Psi_0| \Theta} (y - y_1) \right) \right]. \quad (34)$$

ВАХ анодной области  $V(j) = E_c / 2 \int_0^{\infty} z dx$  можно получить, интегрируя (33),

$$(34) \quad V(j) = \frac{E_c}{2a} (b_+ E_c \tau) \frac{|\Psi_0|}{a} \left( \frac{\pi^2}{6} + \frac{a}{(\Theta \Psi_0)^2} \ln \frac{2|\Psi_0 \Theta|^2}{a} \right). \quad (35)$$

Первое слагаемое в (35) от плазменной области, второе — от слоя. Практически все анодное падение напряжения сосредоточено в неоднородной плазме и лишь малая часть в слое объемного заряда.

При  $\Psi_0 > 0$  перепад потенциала сосредоточен в слое, а поток  $I_+$ , соответствующий столбу, генерируется в малой области толщиной  $\sim (\Theta a)^{-1}$ .

При приближении к катоду возрастает напряженность поля и ионный поток  $I_+$ . Если ионизация в плазме мала, то  $I_+$  растет здесь медленно и концентрация  $n_+ = I_+ / (b_+ E)$  может сперва уменьшаться. В области же сильного поля у катода ионизация велика и  $n_+$  растет экспоненциально. Соответствующие профили  $n_+(x)$ , обладающие минимумом в прикатодной области, были получены

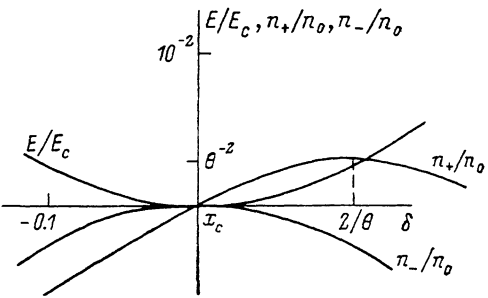


Рис. 3. Профили концентрации ионов (36), электронов (37) и поля (21) вблизи точки  $x_c$ .  $E_c = 40$  В/см,  $n_0 = 3 \cdot 10^9$ ,  $\Theta = 19$ . Максимум  $n_-(\delta)$  сдвинут на величину  $\delta = -(2b_+/b_- \Theta) = 5 \cdot 10^{-4}$  к аноду.

в расчетах [1]. При  $\varepsilon \exp(2a) \ll 1$  профили концентрации получаются из (7), (8), (21) и при  $\delta = y - y_c \ll 1$  имеют вид

$$n_+(\delta)/n_0 = 1 + \delta/\Theta - \delta^2/4 + \frac{\delta^3}{\Theta} \left( \frac{a}{6} - \frac{1}{4} \right), \quad (36)$$

$$n_-(\delta)/n_0 = 1 - \frac{b_+\delta}{b_-\Theta} - \delta^2/4, \quad (37)$$

где  $n_0 \approx I_0/(b_- E_c)$ .

Концентрация электронов (37) имеет максимум слева от  $x_c$  при  $\delta = -2b_+/(b_- \Theta)$  (рис. 3). При

$$\Theta^2 > 8(a - 3/2) \quad (38)$$

концентрация ионов (36) имеет максимум и минимум справа от  $x_c$ . В расчетах [1] условие (38) выполнено для значения тока  $j = 5.62 \cdot 10^{-4}$  А/см<sup>2</sup>. Ему соответствуют  $\Theta = 19$ ,  $a = 14$ . При  $\Theta \gg 1$  точка максимума  $n_+(y)$ , как видно из (36), соответствует  $\delta = 2/\Theta \ll 1$ . При меньших токах в случае, обратном (38), концентрация  $n_+(y)$  монотонно возрастает в соответствии с расчетами [1].

На рис. 3 приведены профили параметров плазмы, вычисленные согласно (21), (36), (37). Тот факт, что в [1] максимумы  $n_+$  и  $n_-$  совпадают, связан, по-видимому, с недостаточной точностью вычислений. При существовании положительного столба максимумы  $n_+$  и  $n_-$  совпадают. Критерий наличия минимума  $n_+(y)$  у катода имеет вид  $2\Psi_0 < 1$  при  $\Psi_0 > 0$  и  $\Theta > 2a$  при  $\Psi_0 < 0$ .

Учет нелокальности ионизации позволяет получить профили, обладающие минимумом поля в прикатодной области  $E_{\min} < E_c$ . Эту область можно со-поставить фарадееву темному пространству. Рассмотрим область перехода от катодного слоя к положительному столбу, в которой полный ток практически совпадает с электронным. Учтем также электронную диффузию. При этом

$$I = b_- n_- E - D_- dn_- / dx = -j/e. \quad (39)$$

Если диффузионный поток (порядка  $T_e n' / eE n$  от полевого) велик, то возможно обращение поля и необходим кинетический расчет. Поэтому будем считать диффузию малой и перепишем (39) в виде

$$n_- = -\frac{j}{e b_- E} \left( 1 + \frac{T_e}{e E^2} (1 + \hat{b}_-) dE/dx \right). \quad (40)$$

Подставив (40) в уравнение Пуассона и дифференцируя, вместо (14) получим

$$\frac{d}{dx} \left( \frac{b_+ E}{4\pi j} - \frac{b_+}{b_-} \frac{T_e}{e E^2} (1 + \hat{b}_-) \right) \frac{dE}{dx} = \alpha - \beta' - \frac{d}{dx} \left( \frac{b_+}{b_-} \right). \quad (41)$$

Заменой  $\mathcal{E} = \int^E EdE (1 - (T_e/eE)(4\pi j/b_- E^2)(1 + \hat{b}_-))$  уравнение (41), как и (14), сводится к уравнению движения частицы в потенциальном поле с трением, так что учет диффузии не меняет качественно характер профиля. Для модельного описания нелокальности ионизации положим, что при  $E < E_0$ ,  $x < x_0$  ионизация есть  $\alpha = \alpha_1(E) + \alpha_0 e^{\lambda(x-x_0)}$ , где  $\alpha_1(E_0) = \alpha_0$ ,  $E(x_0) = E_0 > E_c$ . При этом в области слабого поля  $E < E_0$  на частицу действует тормозящая сила, зависящая от времени. В достаточно длинном разрядном промежутке постоянная интегрирования  $dE/dx|_{x=x_0}$  определяется условием  $E(x \rightarrow -\infty) = -E_c$ . Если  $\lambda$  велико, то (как и в отсутствие нелокальности) поле монотонно уменьшается от  $E_0$  до  $E_c$  и фарадеево темное пространство отсутствует. Если же нелокальность существенна, то поле от  $E_0$  уменьшается до значения  $E_{\min} < E_c$ , а затем (если  $\hat{b}_- < 0$ ) с характерным масштабом  $1/\beta'$  возрастает до  $E_c$ . Таким образом, граничное условие  $E=0$  [5] соответствует  $E_{\min} \ll E_c$ .

### Список литературы

- [1] Ward A. L. // Phys. Rev. 1958. Vol. 112. N 6. P. 1852–1857.  
[2] Гладыш Г. Г., Самохин А. А. // ПМТФ. 1981. № 5. С. 15–23.

- [3] Райзер Ю. П., Суржиков С. Т. // Письма ЖТФ. 1987. Т. 13. Вып. 8. С. 452—456.  
ТВТ. 1988. Т. 26. № 3. С. 428—435.
- [4] Lucas J. // Int. Journ. Electr. 1961. Vol. 11. N 4. P. 281—287.
- [5] Акишев Ю. С., Высикайло Ф. И., Напартович А. П., Пономаренко В. В. // ТВТ. 1980.  
Т. 18. № 2. С. 266—272.
- [6] Райзер Ю. П. // ТВТ. 1986. Т. 24. № 5. С. 984—994.
- [7] Швейгерт В. А., Швейгерт И. В. // Физика плазмы. 1988. Т. 14. № 3. С. 347—352.  
ПМТФ. 1988. № 4. С. 16—23. ТВТ. 1989. Т. 27. № 1. С. 23—29.
- [8] Райзер Ю. П. Физика газового разряда. М.: Наука, 1987. 590 с.
- [9] Varney R., White H. J., Loeb L. B. et al. // Phys. Rev. 1935. Vol. 48. P. 818—822.

Ленинградский политехнический  
институт имени М. И. Калинина

Поступило в Редакцию  
4 октября 1988 г.